

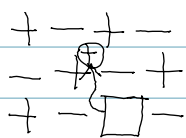
## 6. Kristalldefekte

### 6.1 Defekttypen

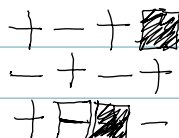
Punktdefekte (0 dim.)  
 Liniendefekte (1 dim.)  
 Flächendefekte (2 dim.)  
 Volumendefekte (3 dim.)

### Punktdefekte

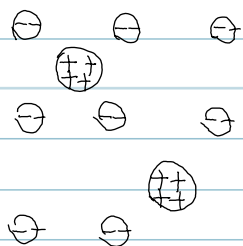
#### a) intrinsische



Frenkel z.B. AgBr

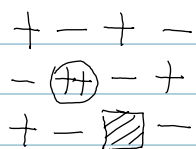


Schottky z.B. NaCl

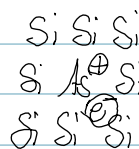


nichtstöchiometrische Verb.  
 $\text{CeO}_{2-x}$

#### b) extrinsische

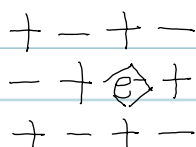


Dotierung  
 $\text{Ca}^{2+}$  in NaCl



Dotierung  
 As in Si

### Farbzentren (F-Zentren)



↑ gebunden

elektron. Struktur  $\rightarrow$  Teilchen im Kasten (3D)

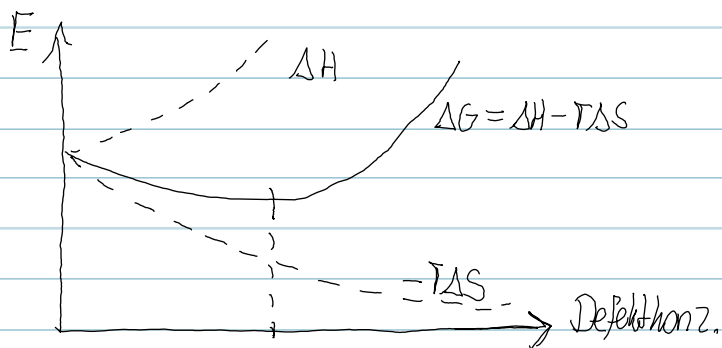
$$E = \frac{\hbar^2}{8ma^2} (n_x^2 + n_y^2 + n_z^2) \rightarrow \Delta E = \frac{3\hbar^2}{8ma^2}$$

z.B. NaCl  $a = 6,28 \text{ \AA} \rightarrow \Delta E = 2,85 \text{ eV}$   
 $\sim 430 \text{ nm}$

## 6.2 Thermodynamik

Defektbildung endotherm

$$\Delta G = \Delta H - T\Delta S \quad |T\Delta S| > \Delta H$$



Bildungsenthalpien  $\Delta H$  z.B. Frenkel AgBr  $\sim 1,2 \text{ eV}$   
Schottky NaCl  $\sim 2,4 \text{ eV}$   
Leerstelle Ag  $\sim 1 \text{ eV}$

$$\Delta S = k \ln W$$

z.B. 6 Leerstellen auf 49 Gitterplätzen

$$W = \binom{49}{6} = \frac{49!}{6!(49-6)!} = 14 \cdot 10^6$$

$N_V$  Leerstellen  $N_L$  Gitterplätze

$$W = \binom{N_L}{N_V} = \frac{N_L!}{N_V!(N_L - N_V)!}$$



$$\hookrightarrow \Delta S = k \ln W \quad \text{Stirling: } \ln(x!) \approx x \ln x - x$$

$$\hookrightarrow \Delta G = N_V \Delta h + kT \left[ (N_L - N_V) \ln(N_L - N_V) + N_V \ln N_V - N_L \ln N_L \right]$$

$$\frac{\partial \Delta G}{\partial N_V} = 0 = \Delta h + kT \ln \left( \frac{N_V}{N_L - N_V} \right)$$

$$N_V \ll N_L \rightarrow x_V = \frac{N_V}{N_L}$$

$$0 \approx \Delta h + kT \ln x_V$$

$$-\Delta h / kT \approx \ln x_V \rightarrow x_V \approx \exp\left(-\frac{\Delta h}{kT}\right)$$

### 6.3 Defektgleichungen

Defekte werden behandelt wie chem. Spezies

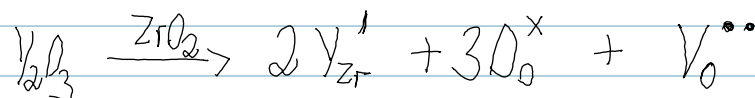
$\hookrightarrow$  Kröger-Vink-Notation

Beispiele:

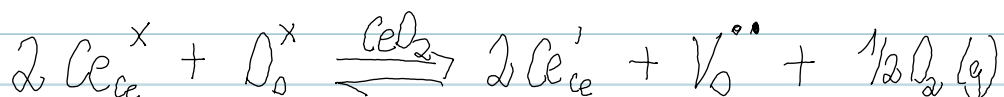
1) Einbau von  $\text{CaCl}_2$  in  $\text{KCl}$



2) Einbau von  $\text{Y}_2\text{O}_3$  in  $\text{ZrO}_2$



3) Partielle Reduktion von  $\text{CeO}_2$



$$2[V_o^{\bullet}] = [Ce_{ce}'] \quad (1)$$

$$K = \frac{a_{Ce_{ce}'}^2 a_{V_o^{\bullet}}^{1/2}}{a_{Ce_{ce}^{\times}} a_{O_o^{\times}}}$$

konst.  $Ce_{ce}^{\times}$ ,  $O_o^{\times}$  sehr groß

$$\hookrightarrow K = [Ce_{ce}']^2 [V_o^{\bullet}]^{1/2} p_{O_2}^{1/2} \quad (2)$$

(1) in (2)

$$K = \frac{1}{2} [Ce_{ce}']^3 p_{O_2}^{1/2}$$

$$\boxed{[Ce_{ce}'] \propto p_{O_2}^{-1/6}}$$

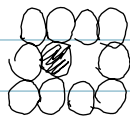
## 7. Diffusion in FK

Ursachen: Defektbildung  
Bewegung von Atomen  $\rightarrow$  Energiebarriere

$$\Delta g^{\ddagger} = \Delta g_m = \Delta h_m - T\Delta S_m$$

Wahrscheinlichkeit Defekt:  $p = \exp(-\Delta h/kT)$

Springfrequenz  $\nu_A = \nu_A \exp(-\Delta g_m/kT)$



$$D_A \propto p \cdot \nu_A$$

$$\hookrightarrow \boxed{D_A = D_A^0 \exp(-E_D/kT)}$$

$$E_D = \Delta h + \Delta h_m$$

## Ionenleitung

Leitfähigkeit  $\Lambda_i = z F n_i$

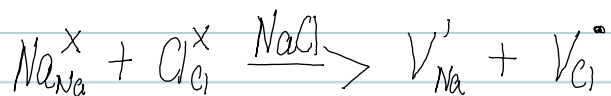
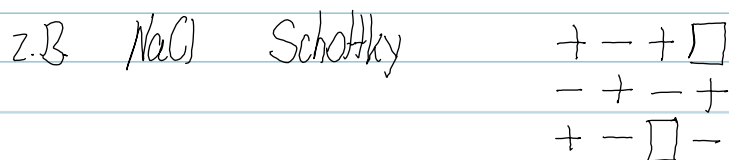
$$n_i = \frac{z_i F D_i}{RT}$$

$$\sigma = \sum c_i \Lambda_i = \frac{z_i^2 F^2 D_i}{RT} c_i$$

$\ln(\sigma \cdot T)$  vs  $1/T \rightarrow E_0!$

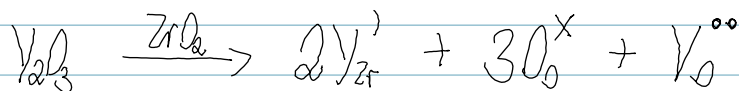
## Arten von Ionenleitern

intrinsische IL



extrinsische IL

z.B.  $\text{V}_2\text{O}_3$  in  $\text{ZrO}_2$



Anwendung: Festelektrolyt-Brennstoffzellen  
800°C - 1000°C

